

© 1993 г. Ю.И. Жданов, А.М. Богданович,  
Б.А. Алексашин, К.Н. Михалев, В.В. Лаврентьев,  
С.В. Верховский, В.В. Сериков, М.В. Садовский\*

## ИЗМЕНЕНИЯ В ЭЛЕКТРОННОМ СПЕКТРЕ $\text{YBa}_2\text{Cu}_3\text{O}_{6,9}$ ПРИ РАДИАЦИОННОМ РАЗУПОРЯДОЧЕНИИ: ДАННЫЕ ЯМР $^{89}\text{Y}$ , $^{63}\text{Cu}$

В соединении  $\text{YBa}_2\text{Cu}_3\text{O}_{6,9}$ , подвергнутом радиационному разупорядочению быстрыми нейтронами с  $\Phi = 0 + 5 \cdot 10^{19} \text{ см}^{-2}$  ( $\Phi$  — поток нейтронов, падающих на облучаемый образец), измерены компоненты тензора ЯМР сдвигов  $^{89}\text{Y}$ ,  $^{63}\text{Cu}$  и скорости спин-решеточной релаксации ядер  $^{89}\text{Y}$  с целью получить оценки изменения спинового вклада  $\chi_s(q = 0)$  в магнитную восприимчивость при создании структурного беспорядка. Полученные результаты свидетельствуют о резком уменьшении плотности электронных состояний вблизи энергии Ферми, завершающемся образованием кулоновской щели на уровне Ферми для несверхпроводящих образцов. Данные ЯМР  $^{89}\text{Y}$  дают свидетельства появления при низких температурах антиферромагнитного упорядочения среди локализованных магнитных моментов, возникающих в плоскостях  $\text{CuO}_2$  при облучении. Обсуждены особенности спин-решеточной релаксации ядер  $^{89}\text{Y}$  в области металлической проводимости, свидетельствующие об андерсоновском переходе металл—диэлектрик в рассматриваемой системе и подтверждающие соответствующее теоретическое рассмотрение.

### 1. Введение

В экспериментальных и теоретических работах, посвященных высокотемпературной сверхпроводимости, предпринимаются значительные усилия для выяснения особенностей основного состояния электронного спектра в сверхпроводящих оксидах на основе меди. Особое внимание уделяется анализу влияния сильных антиферромагнитных

$$Q_{AF} \approx \left\{ \frac{\pi}{a}; \frac{\pi}{a} \right\}$$

флуктуаций спинов атомов меди в первоискитном слое  $\text{CuO}_2$  на энергетический спектр "токовых" кислородных состояний [1]. В течение последних двух лет ЯМР исследования соединений  $\text{YBa}_2\text{Cu}_3\text{O}_{7-\delta}$  ( $\delta = 0,00; 0,37$ ) [2 — 5] дали убедительные свидетельства существования сильных корреляций между этими двумя типами электронных возбуждений. Поскольку явление высокотемпературной сверхпроводимости в купратах реализуется вблизи перехода из металлического состояния в полупроводниковое, большой интерес пред-

\* Сотрудник Института электрофизики Уральского отделения Российской академии наук

ставляет исследование поведения спиновой восприимчивости при создании структурного беспорядка. По-видимому, наиболее "чистым" методом изучения влияния беспорядка на физические свойства высокотемпературных сверхпроводников является радиационное разупорядочение быстрыми нейтронами при низких температурах [6]. В этом случае химический состав соединения сохраняется практически неизменным  $\Delta\delta < 0,1$ . Рост радиационно созданного структурного беспорядка приводит в свойствах исходного соединения  $\text{YBa}_2\text{Cu}_3\text{O}_7$ , наряду с быстрым убыванием  $T_c$  к росту резких изменений кинетических свойств, указывающих на появление эффектов локализации в энергетическом спектре носителей тока [7, 8]. Поведение удельного сопротивления при относительно малых степенях вводимого беспорядка указывает на непрерывный переход металл—полупроводник. При промежуточных степенях создаваемого нейтронным облучением беспорядка отмечено существование "прыжковой" проводимости и сверхпроводимости с аномальным экспоненциальным ростом от  $\Phi$  (где  $\Phi$  — поток нейтронов, падающих на облучаемый образец) абсолютной величины удельного сопротивления. При радиационном разупорядочении в температурной зависимости магнитной восприимчивости появляется вклад Кюри  $C/(T + \delta)$ , свидетельствующий об образовании локализованных магнитных моментов. Концентрация моментов увеличивается пропорционально  $\Phi$ . При достижении  $\Phi$  значений, соответствующих полупроводниковому состоянию,  $\delta$  принимает положительное значение, что указывает на наличие антиферромагнитного взаимодействия моментов и возможное их упорядочение. Не зависящий от температуры вклад в магнитную восприимчивость  $\chi_0$  также увеличивается при переходе к разупорядоченным образцам с меньшим значением  $T_c$ .

В этой связи представляет интерес исследование локально-чувствительными методами изменений электронных состояний зоны проводимости при переходе металл—полупроводник за счет радиационного разупорядочения. Известно [2 — 5], что значения сдвигов ЯМР на ядрах  $^{89}\text{Y}$  и  $^{63}\text{Cu}$  связаны с однородным вкладом в спиновую восприимчивость  $\chi_s(q = 0)$ . В то же время, поведение скорости спин-решеточной релаксации ядер атомов меди в перовскитных плоскостях  $\text{CuO}_2 T_1^{-1}(\text{Cu}) = ^{63}R$ , в основном, определяется низкочастотной частью спектра антиферромагнитных спиновых флуктуаций вблизи

$$q \approx Q_{AF} = \left\{ \frac{\pi}{a}, \frac{\pi}{a} \right\}.$$

Значительный интерес вызывают исследования особенностей спин-решеточной релаксации иттрия  $T_1^{-1}(^{89}\text{Y}) = ^{89}R$ . В силу инверсионной симметрии позиции атомов иттрия относительно ближайшего окружения из атомов меди на ядре иттрия происходит компенсация флуктуаций сверхтонких полей, создаваемых спинами медных атомов. В итоге

$$^{89}R \sim T\chi_s(q = 0)\tau_c,$$

где  $\tau_c$  для металлического состояния определяет время, проводимое электроном с энергией Ферми вблизи резонансного ядра. Для свободного электронного газа  $\tau_c \approx a/v_F$ . При появлении локализационных эффектов в зоне

проводимости электроны с энергией Ферми должны все большее время проводить вблизи определенных позиций, что приводит к изменению интенсивности на частотах ЯМР флуктуаций сверхтонких полей, создаваемых электронами в месте ядра-зонда. Это приводит к возможности изучения эффектов локализации методом ЯМР.

В данной работе представлены результаты измерений температурных зависимостей сдвига линия ЯМР  $^{89}\text{Y}$ ,  $^{63}\text{Cu}$  и скорости спин-решеточной релаксации ядер  $^{89}\text{Y}$  с целью получения сведений о поведении спинового вклада в магнитную восприимчивость в соединении  $\text{YBa}_2\text{Cu}_3\text{O}_{6,9}$ , радиационно-разупорядоченном быстрыми нейтронами вплоть до  $\Phi = 5 \cdot 10^{19} \text{ см}^{-2}$ , приводящих к полупроводниковому состоянию.

## 2. Образцы и методика эксперимента

Измерения выполнены на керамических образцах  $\text{YBa}_2\text{Cu}_3\text{O}_{6,9}$ . Значение критической температуры образца и ширина перехода  $\Delta T_c$  в сверхпроводящее состояние определены из диамагнитного отклика при измерениях магнитной восприимчивости на переменном токе. Облучение быстрыми нейтронами ( $E > 1$  МэВ) проводилось при температуре жидкого азота. Подробное описание результатов нейtronографических и рентгенографических исследований, проведенных на данных образцах, приведено в [9]. Низкотемпературное облучение практически не изменило общее содержание кислорода в образце ( $\Delta\delta < 0,1$  даже для несверхпроводящих образцов), вызывая, в основном, перераспределение атомов кислорода по кристаллографическим позициям O4, O5 в плоскости Cu1—O. Сверхпроводимость исчезает при  $\Phi > 1,2 \cdot 10^{19} \text{ см}^{-2}$  в орторомбической фазе.

ЯМР исследования выполнены в интервале 2,2 + 300 К на керамических образцах  $\text{YBa}_2\text{Cu}_3\text{O}_{6,9}$ , ориентированных в магнитном поле  $B = 8$  Тл и подвергнутых облучению потоком нейтронов с  $\Phi = 0$  и  $T_c^{ons} = 94,5$  К,  $\Delta T_c = 3$  К;  $\Phi = 5 \cdot 10^{18} \text{ см}^{-2}$  и  $T_c^{ons} = 70$  К,  $\Delta T_c = 8$  К;  $\Phi = 1,2 \cdot 10^{19} \text{ см}^{-2}$  и  $T_c^{ons} = 25$  К,  $\Delta T_c = 10$  К;  $\Phi = 2 \cdot 10^{19} \text{ см}^{-2}$  и  $T_c^{ons} < 4$  К и  $\Phi = 5 \cdot 10^{19} \text{ см}^{-2}$ , где  $T_c^{ons}$  — температура начала сверхпроводящего перехода.

Запись спектров ЯКР  $^{63}\text{Cu}$  осуществлялась на спектрометре ЯМР SXP 4-100 путем фазочувствительного детектирования амплитуды сигнала спинового эха при дискретном изменении частоты приемно-передающего тракта [10]. Измерение скорости спин-решеточной релаксации  $^{63}\text{Cu}$  было выполнено в отсутствие магнитного поля на частотах ЯКР с использованием методики насыщения сигнала спинового эха. Спиновое эхо создавалось двухимпульсной последовательностью  $\tau - t_{12} - 2\tau$  с  $\tau = 2,5$  мкс и  $t_{12} < 30$  мкс.

Скорость спин-решеточной релаксации для ядер  $^{89}\text{Y}$  измерялась в магнитном поле  $B_0 = 8,1$  Тл по восстановлению сигнала спинового эха при изменении частоты повторения последовательности радиоимпульсов, формирующих эхо.

Спектры ЯМР  $^{89}\text{Y}$  получены для области нормального состояния путем преобразования фурье-сигнала свободной индукции. Значения сдвигов линий

ЯМР  $^{89}K$  определялись относительно положения резонансной линии  $YCl_3$ , растворенного в азотной кислоте, с учетом поправок, обсуждаемых в [5]. Спектры ЯМР  $^{63}Cu$  перехода  $m = 1/2 \leftrightarrow -1/2$  были получены для двух ориентаций магнитного поля относительно оси с кристаллов. Регистрировалась амплитуда сигнала спинового эха при дискретном изменении частоты настройки приемно-передающего тракта. В процессе записи выбиралось минимально возможное время задержки между импульсами, формирующими эхо  $t_{12} \leq 20$  мкс. Компоненты тензора сдвигов линии ЯМР позиций Cu2 определялись по положению резонансных линий перехода  $m = 1/2 \leftrightarrow -1/2$  с учетом измеренных значений частот ЯКР  $\nu_Q$  [10]. Для позиций Cu2 анализ проводился в предположении аксиальной симметрии тензоров градиента электрического поля и ЯМР сдвигов, при ограничении поправками к сдвигу линий до второго порядка теории возмущений для квадрупольного взаимодействия ядра:

$$\nu_{\parallel} = \nu_0(1 + K_{\parallel}), \quad (1)$$

$$\nu_{\perp} = \nu_0(1 + K_{\perp}) + \frac{3}{16} \frac{\nu_Q^2}{\nu_0}. \quad (2)$$

Здесь  $\nu_0$  — значение частоты ЯМР  $^{63}Cu$  в диамагнитном растворе. При разупорядочении происходит рост распределения  $\Delta K_{\perp}$  и  $\Delta\nu_Q$ , что приводит к увеличению погрешности определения самих величин. В сверхпроводящем состоянии учет диамагнитных поправок, связанных с вихревой структурой магнитного поля в образце, приводит к смещению резонансной частоты  $\nu_{\perp}(Cu2)$ . Для  $B_0 = 8,1$  Тл смещение  $\Delta\nu_{\perp} < 50$  кГц лежит в пределах погрешности определения центра линии.

### 3. Экспериментальные результаты и обсуждение

#### 3.1. Сдвиг линии ЯМР $^{63}Cu$

На рис. 1, 2 приведены температурные зависимости сдвигов линии ЯМР  $^{63}Cu$  позиций Cu2 для ориентации оси с кристаллитами параллельно  $^{63}K_{\parallel}$  и перпендикулярно  $^{63}K_{\perp}$  постоянному магнитному полю. Для исходного образца  $YBa_2Cu_3O_{6,9}$  ( $\Phi = 0$ ) полученные данные близки к приведенным в [11, 12, 4] и отражают не зависящее от температуры поведение компонент ЯМР сдвига в нормальном состоянии.

По мере разупорядочения уже при малых  $\Phi$  происходит существенное уменьшение обеих компонент ЯМР сдвига на ядрах Cu. Более того, в образце, облученном нейтронами с  $\Phi = 1,2 \cdot 10^{19}$  см $^{-2}$  и стоящем на грани перехода в область несверхпроводящих полупроводниковых образцов, появляется температурная зависимость  $^{63}K_{\perp}$  — с понижением температуры наблюдается рост  $^{63}K_{\perp}$ .

Суммарный сдвиг линии ЯМР  $^{63}Cu$  состоит из двух основных вкладов — спинового  $K_s$  и  $K^L$ , связанного с ван-Флековским парамагнетизмом  $\chi^{VV}$  3d-атомов меди:

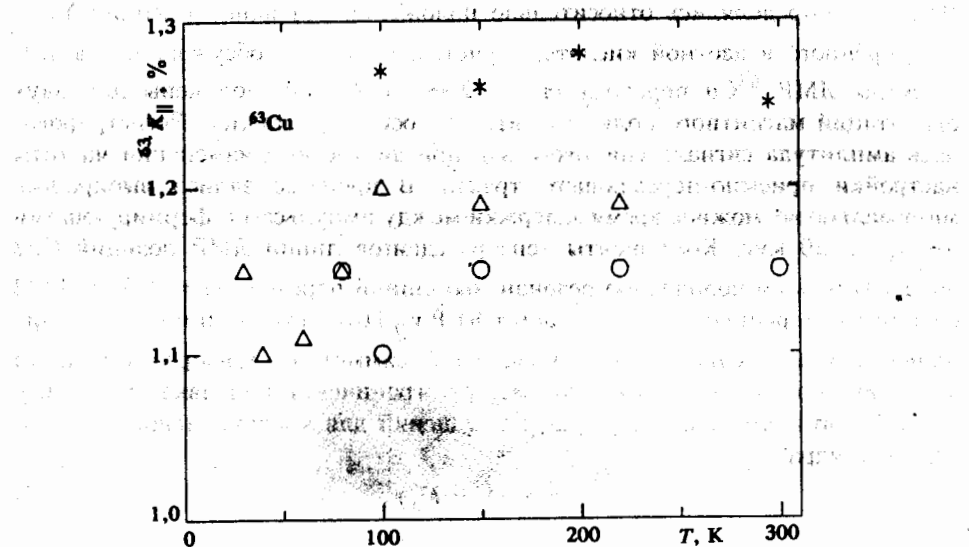


Рис. 1. Температурные зависимости сдвига линии ЯМР  $^{63}\text{Cu}$   $K_{\parallel}$  ( $\mathbf{c} \parallel H_0$ ) в соединении  $\text{YBa}_2\text{Cu}_3\text{O}_{6.9}$ , подвергнутом облучению потоком быстрых нейтронов: \* —  $\Phi = 0$ ;  $\circ$  —  $5 \cdot 10^{18} \text{ см}^{-2}$ ;  $\Delta$  —  $1,2 \cdot 10^{19} \text{ см}^{-2}$

ванные образцы. Видимо, это связано с тем, что при облучении образцов потоком быстрых нейтронов в них возникают различные дефекты кристаллической решетки, что приводит к различным изменениям в структуре и свойствах материала.

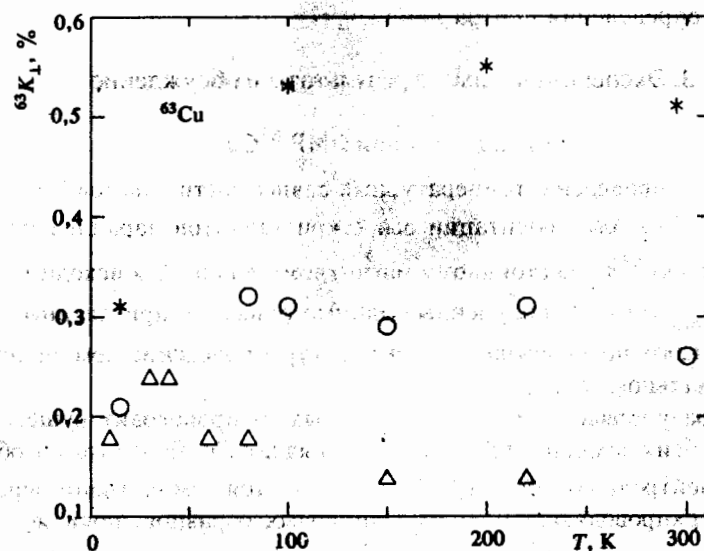


Рис. 2. Температурные зависимости сдвига линии ЯМР  $^{63}\text{Cu}$   $K_{\perp}$  ( $\mathbf{c} \perp H_0$ ) в соединении  $\text{YBa}_2\text{Cu}_3\text{O}_{6.9}$ , подвергнутом облучению потоком быстрых нейтронов: \* —  $\Phi = 0$ ;  $\circ$  —  $5 \cdot 10^{18} \text{ см}^{-2}$ ;  $\Delta$  —  $1,2 \cdot 10^{19} \text{ см}^{-2}$

$$^{63}K_{\parallel(\perp)} = K_{\parallel(\perp)}^L + K_{s\parallel(\perp)}, \quad (3)$$

$$K_{aa}^L = 4\mu_B^2 \left\langle \frac{1}{r_{3d}^2} \right\rangle \sum_n \frac{|\langle 0 | \hat{L}_a | n \rangle|^2}{E_n - E_0} = 2\mu_B^2 \left\langle \frac{1}{r_{3d}^3} \right\rangle \chi_{aa}^{VV}, \quad (4)$$

$$^{63}K_{s\parallel(\perp)} = \frac{1}{\mu_B} (A_{\parallel(\perp)} + 4B) \chi_s. \quad (5)$$

Спиновый вклад  $K_s$  пропорционален произведению однородной спиновой восприимчивости  $\chi_s$  ( $q = 0$ ), предполагаемой (следуя [13]) изотропной, и комбинации сверхтонких констант  $A_{\parallel(\perp)}$  и  $B$ . Сверхтонкие константы  $A_{aa}$  и  $B$  соответствуют прямому и наведенному от ближайших атомов меди магнитным сверхтонким взаимодействиям с ядром  $^{63}\text{Cu}$  в гамильтониане сверхтонких взаимодействий, предложенном в [13] для описания ЯМР на атомах меди Cu2 в плоскостях  $\text{CuO}_2$ .

$$\hat{H} = \sum_i I_i A S_i + \sum_{i,j} B I_i S_j. \quad (6)$$

Восприимчивость  $\chi_{aa}^{VV}$  определяется взаимным расположением энергетических уровней 3d-орбиталей свободных состояний  $d_{xy}$ , ( $d_{xz}$ ,  $d_{yz}$ ) относительно почти заполненной зоны  $d_{x^2-y^2}$ , лежащей вблизи энергии Ферми.

Для разделения этих вкладов мы использовали результаты измерения сдвига ЯМР  $^{63}K$  в сверхпроводящем состоянии. Из [14] известно, что в исходном  $\text{YBa}_2\text{Cu}_3\text{O}_7$  при переходе в сверхпроводящее состояние  $^{63}K_{\parallel}$  практически не изменяется, в то время как  $^{63}K_{\perp}$  уменьшается существенно по величине. Этот факт нашел объяснение в том, что спиновый вклад  $^{63}K_{s\parallel}$  ничтожно мал ввиду предполагаемой взаимной компенсации сверхтонких констант ( $A_{\parallel} \approx -4B$ ). Как показывают результаты измерений  $^{63}K_{\parallel}$  (Cu2) в сверхпроводящем состоянии подобная ситуация остается справедливой и для облученных образцов. Это позволяет заключить, что уменьшение  $^{63}K_{\parallel}$  с ростом  $\Phi$  связано с уменьшением  $\chi^{VV}$ . В работе [12] на основе расчетов положения энергетических уровней  $3d^9$ -иона меди в  $\text{YBa}_2\text{Cu}_3\text{O}_7$  было получено соотношение  $^{63}K_{\parallel}^L / ^{63}K_{\perp}^L \approx 4$  для смещения орбиталей возбужденных состояний  $E_{xy} = 2$  эВ; ( $E_{xz}$ ,  $E_{yz}$ ) = 2,2 эВ относительно орбиталей основного состояния  $E_{x^2-y^2}$ .

Мы можем отметить, что при  $\Phi = 5 \cdot 10^{18} \text{ см}^{-2}$ , соответствующем довольно высокому значению  $T_c$ , когда сохраняется металлический характер проводимости образца, это отношение орбитальных сдвигов остается практически неизменным. Однако для образца с  $\Phi = 1,2 \cdot 10^{19} \text{ см}^{-2}$ , где наблюдается существенное проявление прыжковой проводимости при  $T < 100$  К, проис-

ходит резкое уменьшение  ${}^{63}K_{\perp}^L$ , что приводит к увеличению соотношения  ${}^{63}K_{\parallel}^L/{}^{63}K_{\perp}^L$  более чем в два раза. Это может служить указанием на увеличение смещения энергии (относительно основного состояния) состояний  $E_{xx}$ ,  $E_{yz}$ , виртуальные переходы с которых не дают вклада в  ${}^{63}K_{\parallel}^L$ .

Обратимся к анализу изменения спинового вклада при радиационном разупорядочении. Для исходного  $\text{YBa}_2\text{Cu}_3\text{O}_{6,9}$  уменьшение сдвига  $K_{\perp}$  в сверхпроводящем состоянии:

$${}^{63}K_{\perp}(100 \text{ K}) - {}^{63}K_{\perp}(15 \text{ K}) = {}^{63}K_s = 0,26\%$$

близко к литературным данным. Используя значения сверхтонких полей  $A_{\perp} = 32 \text{ кЭ}/\mu_B$  и  $B = 40,3 \text{ кЭ}/\mu_B$  [14], мы получаем оценку спинового вклада в магнитную восприимчивость для исходного образца  $\text{YBa}_2\text{Cu}_3\text{O}_{6,9}$ :  $\chi_s/2 \mu_B^2 = 2,3 (\text{эВ}\cdot\text{ат.Сu})^{-1}$ . По мере роста  $\Phi$  происходит уменьшение спинового вклада  $K_s$ , что отражает уменьшение однородной части спиновой восприимчивости в облученных образцах. На рис. 3 приведены результаты оценки относительного изменения однородной спиновой восприимчивости  $\chi_s(q = 0)$  для различных образцов по данным изменения  $\Delta {}^{63}K_{\perp}$  при переходе в сверхпроводящее состояние. Поскольку основной вклад в  $\chi_s(q = 0)$  связан с паулиевским парамагнетизмом электронных состояний вблизи энергии Ферми [6], можно утверждать, что при создании беспорядка в  $\text{YBa}_2\text{Cu}_3\text{O}_{6,9}$  убывание критической температуры сопровождается резким уменьшением плотности состояний на уровне Ферми. В настоящий момент трудно указать определяющий фактор наблюдаемого поведения плотности состояний вблизи энергии Ферми при структурном разупорядочении  $\text{YBa}_2\text{Cu}_3\text{O}_{6,9}$ . Это может быть вызвано размытием особенностей Ван Хова, наличие которой вблизи

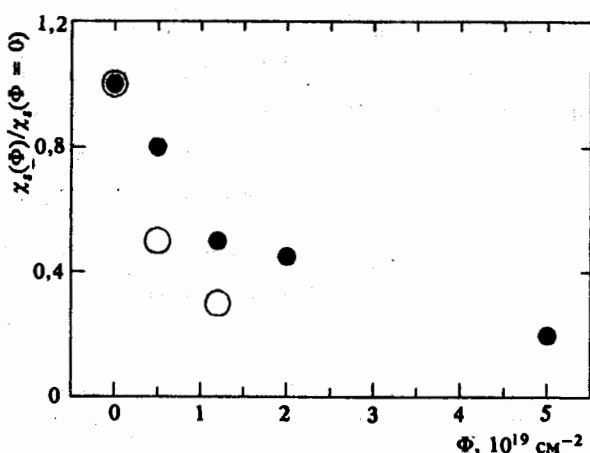


Рис. 3. Поведение спиновой восприимчивости  $\chi_s(q = 0)$  в зависимости от потока быстрых нейтронов в  $\text{YBa}_2\text{Cu}_3\text{O}_{6,9}$ : ● — данные ЯМР  ${}^{63}\text{Cu}$  ( $T = 300 \text{ K}$ ); ○ — данные ЯМР  ${}^{89}\text{Y}$  ( $T = 300 \text{ K}$ ).

$E_F$  обсуждается в ряде публикаций для упорядоченного соединения. Однако не зависящее от температуры поведение  $\chi$  в области нормального состояния делает это предположение маловероятным. Скорее всего здесь мы имеем дело с появлением корреляционной "псевдощели" на уровне Ферми, связанной с проявлением эффектов беспорядка в коррелированном электронном газе [15]. На диэлектрической стороне эта "псевдощель" переходит в кулоновскую щель, возникающую из-за взаимодействия электронов, находящихся в локализованных состояниях [16].

При  $\Phi > 2 \cdot 10^{19} \text{ см}^{-2}$  при переходе к несверхпроводящим образцам в спектре ЯМР  $^{63}\text{Cu}$  (рис. 4) перехода  $m = 1/2 \leftrightarrow -1/2$  присутствует лишь линия, описываемая набором параметров ЯМР сдвигов:  $K_b = K_c = 0,25 \pm 5\%$ ,  $K_a = 1,0 \pm 1\%$  — и констант квадрупольной связи:  $\nu_Q = 20 \pm 1$  МГц,  $\eta = 0,85 \pm 5$ , соответствующих случаю неаксиально-симметричного тензора градиентов электрического поля на ядре. Подобное изменение наблюдается также в спектрах ядерного квадрупольного резонанса [10]: происходит резкое уменьшение интенсивности линий в области частот  $\nu = 28 + 32$  МГц, соответствующих положению линий ЯКР позиций Cu2 сверхпроводящих разупорядоченных образцов  $\text{YBa}_2\text{Cu}_3\text{O}_{6,9}$ . Это позволяет предположить, что наблюдаемый спектр ЯМР обусловлен атомами меди, расположенными в позициях Cu1. По-видимому, резкое уменьшение интенсивности линий позиций Cu2 обусловлено образованием локализованных магнитных моментов  $\mu$  в плоскостях  $\text{CuO}_2$ . Дипольные поля, создаваемые локализованным электронным спином, приводят к резкому уменьшению времен релаксации соседних с ним ядер [17]. Принимая  $\mu = 0,6\mu_B$  и используя значение константы Кюри  $C = 5 \cdot 10^{-3}$  К/моль для данного значения  $\Phi$ , нетрудно оценить, что среднее расстояние между локализованными моментами не превышает  $2 + 3a$ .

Как отмечалось ранее [10], для образца с  $\Phi = 2 \cdot 10^{19} \text{ см}^{-2}$  при понижении температуры наблюдается отклонение от зависимости  $C/(T + \vartheta)$  в поведении магнитной восприимчивости ниже 20 К, что свидетельствует о появлении упорядочения среди локализованных моментов. Косвенным подтверждением стремления к упорядочению является дополнительный рост ширины особенностей спектра ЯМР позиций Cu1 и незначительное увеличение сдвига ЯМР в этой области температур. Для  $T = 5$  К (рис. 4)  $K_b = K_c = 0,30 \pm 5\%$ . Для образца с максимальным  $\Phi = 5 \cdot 10^{19} \text{ см}^{-2}$  дополнительное уширение особенностей спектра происходит уже при температурах ниже 100 К. Сдвиг низкочастотной части спектра в сторону меньших частот, в основном обусловлен ростом распределения градиента электронного поля в позициях Cu1. Действительно, спектр ЯКР меди для этого значения  $\Phi$  представляет широкую неоднородно уширенную линию в области частот  $18 \div 24$  МГц для изотопов  $^{63}\text{Cu}$ ,  $^{65}\text{Cu}$ . Нами были предприняты попытки обнаружить сигнал ЯМР меди в локальном поле при низких температурах в области частот  $90 + 100$  МГц. При  $T = 2,2$  К мы наблюдали во всей области указанных частот слабый сигнал спинового эха с временем спин-спиновой релаксации  $T_2 < 5\mu\text{s}$ . Столь быстрая релаксация ядерного спина не позволила воспроиз-

вести уверенно спектр полностью. Для этого, по-видимому, необходимо проводить эксперимент при более низких температурах. Ниже мы вернемся к обсуждению вопроса о возможном упорядочении локализованных магнитных моментов в плоскостях  $\text{CuO}_2$ , рассмотрев данные ЯМР  $^{89}\text{Y}$  ( $J = 1/2$ ). Отсутствие квадрупольных эффектов уширения линий ЯМР иттрия позволяет в этом случае сделать более определенные выводы о наличии магнитного упорядочения [18] среди локализованных моментов в плоскостях  $\text{CuO}_2$  для сильно разупорядоченного состояния соединения  $\text{YBa}_2\text{Cu}_3\text{O}_{6,9}$ .

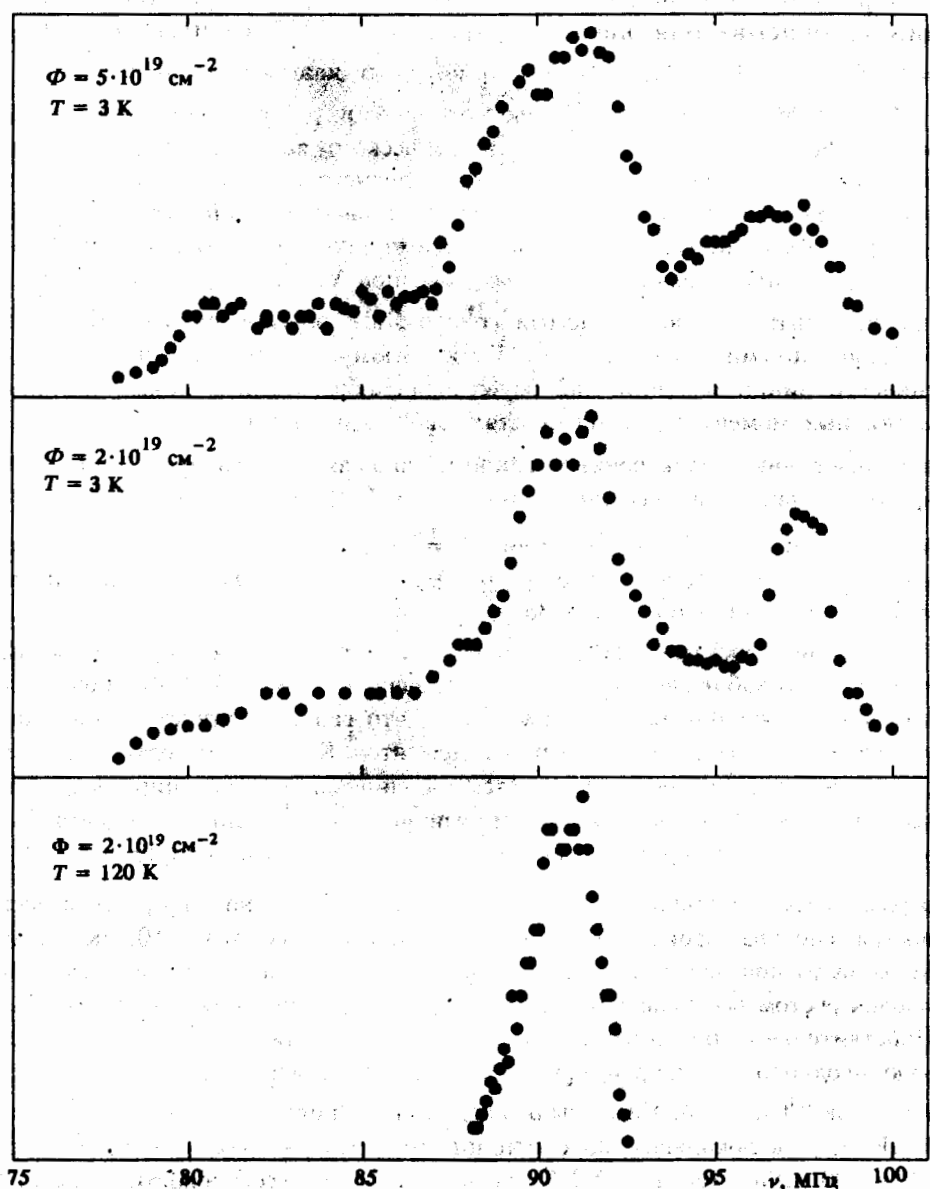


Рис. 4. Спектры ЯМР  $^{63}\text{Cu}$  в неориентированных образцах  $\text{YBa}_2\text{Cu}_3\text{O}_{6,9}$ , подвергнутых облучению потоком быстрых нейтронов, соответствующих несверхпроводящему состоянию

### 3.2. Сдвиг линии ЯМР и скорость спин-решеточной релаксации $^{89}\text{Y}$ в нормальном состоянии

Данные поведения сдвига линии ЯМР  $^{89}\text{K}$  в нормальном состоянии облученных образцов  $\text{YBa}_2\text{Cu}_3\text{O}_{6,9}$  представлены на рис. 5. Для исходного соединения наши результаты находятся в хорошем согласии с данными [5], демонстрируя не зависящее от температуры поведение  $^{89}\text{K} = -70 \pm \pm 20 \text{ ppm}$ . При разупорядочении, также как и для  $^{63}\text{K}$ , наблюдается уменьшение его абсолютного значения и для  $\Phi = 1,2 \cdot 10^{19} \text{ см}^{-2}$   $^{89}\text{K}$  принимает положительное значение.

С ростом беспорядка появляется температурная зависимость сдвига — при понижении температуры наблюдается уменьшение его абсолютного значения. Рост погрешности определения величины  $^{89}\text{K}$  обусловлен, в основном, увеличением неоднородной ширины линии ЯМР  $^{89}\text{Y}$  в облученных образцах. Поведение  $^{89}\text{K}(T)$ , во многом, аналогично температурным зависимостям для образцов  $\text{YBa}_2\text{Cu}_3\text{O}_{7-\delta}$  с близкими значениями  $T_c$ . Для иллюстрации на рис. 5 более мелкими значками приведены данные [5] для образцов  $\delta = 0,15$  ( $T_c = 80 \text{ K}$ ) и  $\delta = 0,49$  ( $T_c = 40 \text{ K}$ ). Подробное обсуждение природы и поведения сдвига ЯМР  $^{89}\text{Y}$  для  $\text{YBa}_2\text{Cu}_3\text{O}_{7-\delta}$  дано в [5]. Суммарный сдвиг ЯМР  $^{89}\text{Y}$  может быть объяснен двумя вкладами: не зависящим от температуры и содержания кислорода химическим сдвигом заполненных электронных оболочек  $^{89}\text{K}_{xc}$  и сдвигом Найта  $^{89}\text{K}_s$ :

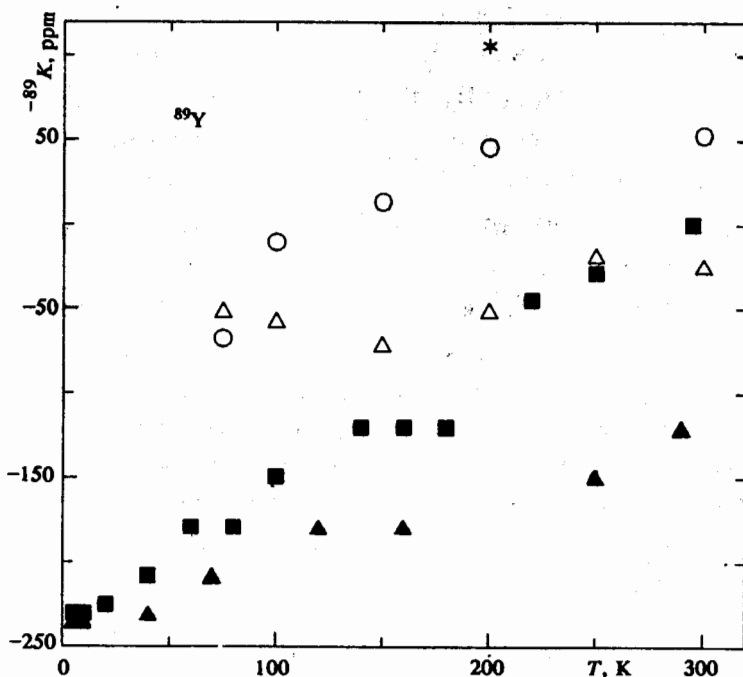


Рис. 5. Поведение сдвига линии ЯМР  $^{89}\text{Y}$  для области нормального состояния в соединении  $\text{YBa}_2\text{Cu}_3\text{O}_{6,9}$  при различных значениях потоков быстрых нейтронов: \* —  $\Phi = 0$ ; ○ —  $5 \cdot 10^{18} \text{ см}^{-2}$ ; Δ —  $1,2 \cdot 10^{19} \text{ см}^{-2}$ ; ■ —  $2 \cdot 10^{19} \text{ см}^{-2}$ ; ▲ —  $5 \cdot 10^{19} \text{ см}^{-2}$

$$^{89}K = ^{89}K_{xc} + ^{89}K_s . \quad (7)$$

Последнее слагаемое пропорционально однородной спиновой восприимчивости  $\chi_s$ . Его отрицательное значение обусловлено эффектами обменной поляризации заполненных оболочек остова электронами молекулярной орбитали  $Cu(3d)-O(2p\sigma)$ , имеющей отличную от нуля спиновую плотность на атоме иттрия. Наличие такой связи  $Cu-O$ , как известно, является отправной точкой при обсуждении различных моделей электронного строения высокотемпературных сверхпроводников с перовскитными слоями  $CuO_2$ . В этом случае поведение  $^{89}K$  отражает поведение спинового вклада состояний атомов кислорода.

Исследования кристаллических полей редкоземельных ионов  $No^{3+}$ ,  $Er^{3+}$  в радиационно разупорядоченных образцах  $NoBa_2Cu_3O_7$  и  $ErBa_2Cu_3O_7$  [19] показали, что вносимый структурный беспорядок оставляет неизменным ближайшее зарядовое окружение, сохраняя даже масштаб сверхтонких магнитных расщеплений редкоземельного иона. Можно предположить, что отсутствие смещения валентных уровней сохраняется и для  $Y^{3+}$  в  $YBa_2Cu_3O_{6,9}$ , подвергнутом радиационному разупорядочению. В этом случае можно ожидать неизменность величины химического сдвига  $^{89}K_{xc}$  при облучении. Это предположение находит подтверждение при рассмотрении данных ЯМР сдвигов иттрия, приведенных на рис. 5 для несверхпроводящих разупорядоченных образцов. При понижении температуры  $^{89}K$  принимает значение, равное 200 ppm, что близко к величине орбитального сдвига  $K_{xc} = 200$  ppm в упорядоченном соединении  $YBa_2Cu_3O_{6,9}$  [20] и  $K_{xc} = 155$  ppm в  $YBa_2Cu_3O_{6,85}$  и  $YBa_2Cu_3O_{6,63}$  [21]. Таким образом можно утверждать, что в несверхпроводящих разупорядоченных образцах при понижении температуры величина спинового вклада  $^{89}K_s$  стремится к значению, близкому к нулевому. Для  $\Phi = 2 \cdot 10^{19} \text{ см}^{-2}$  "вымораживание" спинового вклада происходит при температурах ниже 20 K, а для максимального  $\Phi = 5 \cdot 10^{19} \text{ см}^{-2}$   $^{89}K_s = 0$  при  $T < 80$  K. Мы видим, что данные ЯМР  $^{89}Y$  подтверждают вывод, сделанный из анализа сдвигов ЯМР  $^{63}Cu$  для сверхпроводящих образцов, об уменьшении плотности электронных состояний на уровне Ферми при разупорядочении с образованием щели вблизи энергии Ферми для несверхпроводящих образцов. Следует отметить, что по данным ЯМР  $^{89}Y$  крутизна уменьшения  $\chi_s(q=0)$  с ростом  $\Phi$  меньше (рис. 3).

Рост  $^{89}K$  при увеличении температуры можно связать с температурной зависимостью спинового вклада в магнитную восприимчивость

$$\chi_s(T) = 2\mu_B^2 \int N(E)f'(E)dE , \quad (8)$$

где

$$f(E) = 1 / \left( \exp \left\{ -\frac{E - \mu}{kT} \right\} + 1 \right)$$

— функция распределения Ферми. При этом необходимо дополнительно предположить, что значение химического потенциала  $\mu$  попадает в область энергий внутри образующейся щели в электронном спектре [15].

Обращают на себя внимание противоположные знаки температурных зависимостей  $^{89}K(T)$  и  $^{63}K_{\perp}(T)$  в наиболее сильно разупорядоченном образце. Подобное поведение трудно понять, считая неизменным значение наведенного на атоме иттрия сверхтонкого поля. Нельзя также исключить возможность появления при разупорядочении дополнительного перераспределения спиновой плотности в области малых  $q$ . Последнее утверждение может быть обосновано экспериментами ЯМР  $^{17}\text{O}$  на позициях (O2), (O3). В пользу высказанного предположения о появлении пространственной неоднородности спиновой плотности носителей тока, на наш взгляд, свидетельствуют результаты измерения скорости спин-решеточной релаксации на ядрах  $^{89}\text{Y}$ , приведенные на рис. 6. Для исследованных сверхпроводящих образцов в области металлического характера проводимости поведение скорости спин-решеточной релаксации  $^{89}R$  в нормальном состоянии удовлетворительно описывается линейной зависимостью с крутизной, возрастающей по мере роста  $\Phi$ . Такая температурная зависимость характеризует корринговский механизм релаксации в металлах [22]:

$$^{89}R_K = 2\gamma^2 \hbar k_B T H_{\text{ст}}^2 \left( \frac{\chi_s}{2\mu_B^2} \right)^2 = 2\gamma^2 \hbar k_B T H_{\text{ст}}^2 N^2(E_F). \quad (9)$$

Так как спиновая восприимчивость уменьшается с ростом  $\Phi$ , данная формула не позволяет понять причину роста скорости спин-решеточной релаксации  $^{89}\text{Y}$  в разупорядоченных образцах. В выражении (9), полученном в пределе малых значений времени корреляции электронного движения в зоне проводимости  $\omega_N \tau_c = 2\pi v_0 \tau_c \ll 1$ , подразумевается, что время корреляции  $\tau_c$  приблизительно равно времени, которое требуется электрону с фермиевской скоростью  $v_F$ , чтобы преодолеть расстояние между ближайшими атомами иттрия

$$\tau_c \approx \frac{a}{v_F} \approx \hbar N(E_F). \quad (10)$$

На наш взгляд, с подобной ситуацией в свое время столкнулся Warrren [23] при анализе аномального роста скорости спин-решеточной релаксации в  $\text{In}_2\text{Te}_3$  для области, где существенно проявление локализационных эффектов в зоне проводимости. Более подробный теоретический анализ проводится в Приложении. Согласно [23] можно следующим образом модифицировать (9) для случая отклонения  $\tau_c$  от значения (10) для свободных электронов:

$$^{89}R = \frac{^{89}\gamma^2 \hbar k_B}{2\mu_B^2} {}^{89}K_s^2 T \frac{\tau_c}{\hbar N(E_F)} = \frac{^{89}\gamma^2 \hbar k_B}{2\mu_B^2} {}^{89}K_s^2 T \eta, \quad (11)$$

где  $\eta = R/R_K$  — параметр усиления, связанный с ростом времени пребывания электрона вблизи ЯМР ядра, вызванным приближением к локализационному

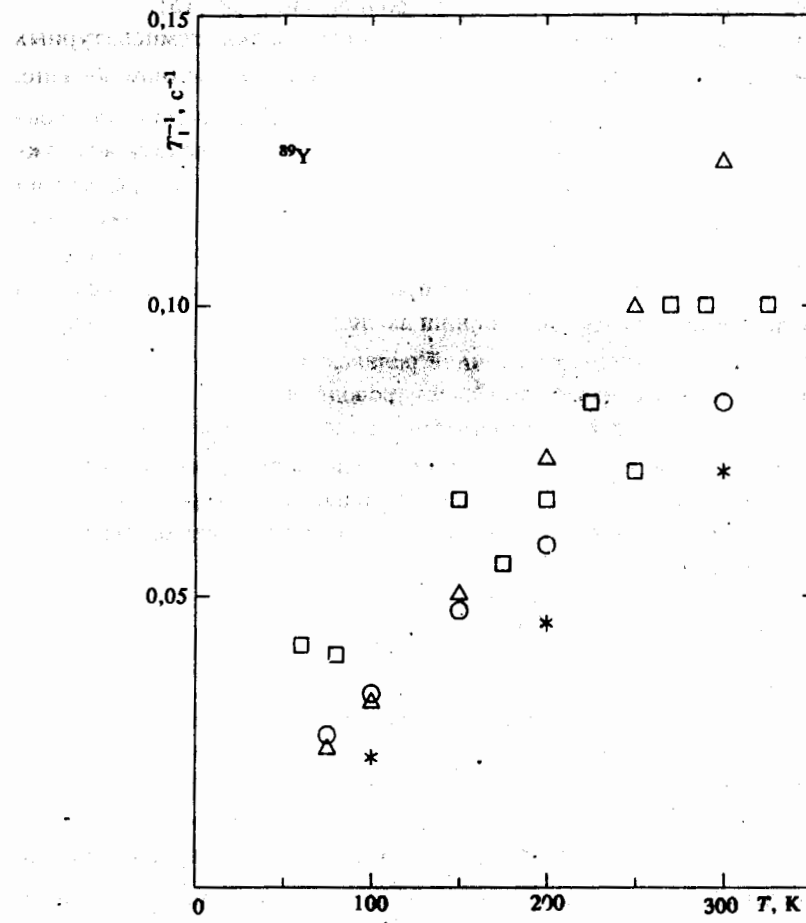


Рис. 6. Температурные зависимости скорости спин-решеточной релаксации  $T_1^{-1}(^{89}\text{Y})$  в соединении  $\text{YBa}_2\text{Cu}_3\text{O}_{6,9}$  при различных значениях потока быстрых нейтронов \* —  $\Phi = 0$ ; ○ —  $5 \cdot 10^{18} \text{ см}^{-2}$ ;  $\Delta$  —  $1,2 \cdot 10^{19} \text{ см}^{-2}$ ;  $\square$  —  $2 \cdot 10^{19} \text{ см}^{-2}$

переходу металл—диэлектрик. С этим фактором мы связываем увеличение  $^{89}R$ . Так для образца с  $\Phi = 1,2 \cdot 10^{19} \text{ см}^{-2}$  это увеличение достигает  $\tau_c(\Phi = 1,2 \cdot 10^{19} \text{ см}^{-2})/\tau_c(\Phi = 0) \approx 5(1)$ , что грубо соответствует возрастанию эффективного времени взаимодействия электронного спина с ядром в пять раз. Для области металлического характера проводимости согласно (П.12) имеется следующее выражение для параметра усиления  $\eta$  через проводимость образца  $\sigma$ :

$$\eta = \frac{T_1^K}{T_1} \approx \frac{\tau_c}{hN(E_F)} \approx \left\{ 1 + \frac{\pi}{3} \frac{\sigma_c^2}{\sigma(\sigma + \sigma_c)} \right\}, \quad (12)$$

где  $\sigma_c$  — так называемая минимальная металлическая проводимость [24], значения которой лежат в пределах  $100 \div 1000 \text{ Ом}^{-1} \cdot \text{см}^{-1}$ . При анализе

$^{89}\text{Y}$  ЯМР экспериментов можно пренебречь в (12) частотной зависимостью  $\sigma$ , полагая ее равной статической проводимости. Для сравнения с (12) воспользуемся данными электропроводности, полученными на тех же образцах. Как показано в [8] для  $\Phi = (5 \div 10) \cdot 10^{18} \text{ см}^{-2}$  в области низких температур на кривых удельного сопротивления  $\rho(T)$  в области низких температур присутствует участок с  $d\rho/dT < 0$ , который хорошо описывается зависимостью  $\rho(T) \sim \exp(Q/T^{1/4})$  с  $Q = 2,1(N(E_F)R_{\text{лок}}^3)^{-1/3}$ , характерной для проводимости по локализованным состояниям, что несколько затрудняет последующий анализ. Для области высоких температур ( $T > 100 \text{ K}$ ) на всех исследованных образцах преобладает металлический характер проводимости с  $d\rho/dT > 0$ . Мы используем далее именно эти значения проводимости. В таблице приведены значения статической проводимости  $\sigma$  для крайних значений исследованной области металлической проводимости облученных образцов  $\text{YBa}_2\text{Cu}_3\text{O}_{6,9}$ . Там же приведены относительные изменения параметра усиления

$$\eta_N = \frac{^{89}R(\Phi)}{^{89}R(\Phi = 0)} \left( \frac{\chi_s(\Phi = 0)}{\chi_s(\Phi)} \right)^2$$

при создании структурного беспорядка, полученные из данных ЯМР  $^{89}\text{Y}$  и статической проводимости с использованием (12) и учетом уменьшения  $\chi_s$  при разупорядочении. Наилучшее согласие достигается при значении минимальной металлической проводимости  $\sigma_c = 450 \text{ Ом}^{-1} \cdot \text{см}^{-1}$ . Это значение вполне соответствует оценкам  $\sigma_c$ , обычно проводимым в литературе, посвященной проблеме андерсоновской локализации [24]<sup>1)</sup>.

$\text{YBa}_2\text{Cu}_3\text{O}_{6,9}$						
$\Phi, 10^{18} \text{ см}^{-2}$	$\sigma, (\text{Ом} \cdot \text{см})^{-1}$ [8]		$^{89}\eta_N$	$\eta$ (расч.(12), $T = 300 \text{ K}$ )		$\eta_N$
	$T = -100 \text{ K}$	$T = -300 \text{ K}$		$T = -300 \text{ K}$	$\sigma_c = 10^3$ $(\text{Ом} \cdot \text{см})^{-1}$	
0	2500	1000	1,0	1,2	1,10	1,00
5	500	330	1,5	2,3	1,80	1,60
12	170	180	4,0	6,0	3,00	2,80
20	10	33	3,3	30	13,00	

На рис. 7 приведена зависимость от  $\Phi$  величины  $\eta_N$  — нормированного фактора усиления — характеризующего относительное усиление спин-решеточной релаксации за счет эффектов локализации с учетом изменения плотности состояний на уровне Ферми в  $\text{YBa}_2\text{Cu}_3\text{O}_{6,9}$  при разупорядочении.

Для  $\Phi < 1,2 \cdot 10^{19} \text{ см}^{-2}$  наблюдается рост  $\eta$ , сопровождаемый уменьшением  $\sigma$  [7]. Однако уменьшение  $\eta_N$  для больших  $\Phi$ , соответствующих несверхпроводящим образцам  $\text{YBa}_2\text{Cu}_3\text{O}_{6,9}$ , перестает описываться выражением (12): с

<sup>1)</sup> Приведенное в [25] меньшее значение  $\sigma_c = 250(30) \text{ Ом}^{-1} \cdot \text{см}^{-1}$  получено при нормировке фактора усиления  $\eta$  на отношение  $\chi_s(\Phi)/\chi_s(\Phi = 0)$ , а не на квадрат этого отношения, как сделано в данной работе. Различие в нормировке обусловлено тем, что в данной работе мы связываем изменение  $\chi_s$  с уменьшением плотности состояний на уровне Ферми за счет образования псевдоцентров, а не с изменением корреляционных поправок  $\chi_s$ , как это сделано в работе [25].

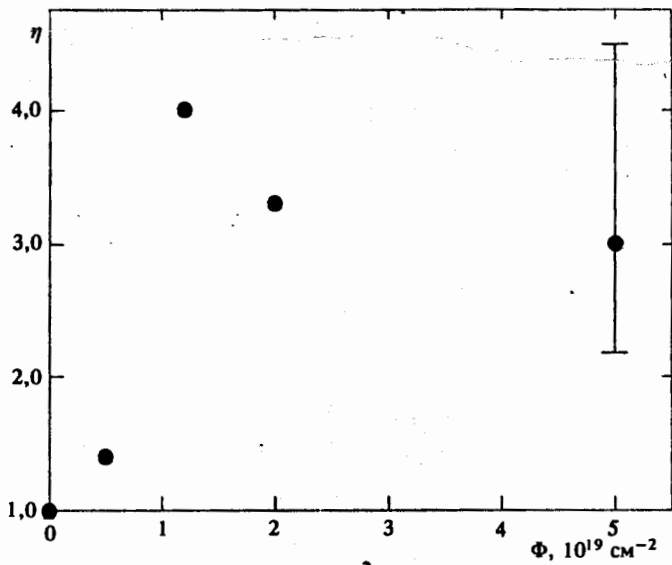


Рис. 7. Зависимость  $\eta = \frac{^{89}R(\Phi)}{^{89}R(\Phi = 0)} \left( \frac{\chi_s(\Phi = 0)}{\chi_s(\Phi)} \right)^2$  от потока быстрых нейтронов для  $T = 300$  К в  $\text{YBa}_2\text{Cu}_3\text{O}_{6,9}$

уменьшением  $\sigma$  происходит уменьшение и величины  $\eta$ . Мы считаем, что такое поведение фактора усиления с ростом беспорядка отражает ситуацию, теоретически описанную в Приложении, и связано с прохождением системы через переход Андерсона. Для образца с  $\Phi = 2 \cdot 10^{19} \text{ см}^{-2}$  степень беспорядка настолько велика, что по данным электросопротивления [7] он находится на диэлектрической стороне перехода металл—диэлектрик. Ниже в Приложении показано, что на границе перехода металл—диэлектрик фактор усиления  $\eta$  должен принимать максимальное значение. На диэлектрической стороне перехода фактор усиления пропорционален произведению импульса Ферми  $p_F$  и радиуса локализации  $R_{loc}$ :

$$\eta \approx p_F R_{loc}. \quad (13)$$

При движении в глубь диэлектрической фазы должно происходить уменьшение  $\eta$  за счет уменьшения  $R_{loc}$ , приводящего к менее эффективному взаимодействию Си—О—Й. Рассматривая данные  $^{89}R$  при комнатной температуре (рис. 6) можно отметить прекращение роста скорости спин-решеточной релаксации ядер иттрия при  $\Phi = 2 \cdot 10^{19} \text{ см}^{-2}$ . Согласно анализу, приведенному в Приложении, мы можем утверждать, что при увеличении  $\Phi$  переход из металлического состояния в состояние андерсоновского диэлектрика происходит в области  $\Phi \approx (1 + 2) \cdot 10^{19} \text{ см}^{-2}$ , где достигается максимум  $\eta$ . Еще раз следует отметить, что обсуждение данных касалось области высоких температур  $T > 100$  К. Как видно из рис. 6 при низких температурах  $^{89}R(\Phi = 2 \cdot 10^{19} \text{ см}^{-2}, T = 20 \text{ K}) = 0,020 \text{ см}^{-2}$  превышает соответствующее значение  $R(\Phi = 1,2 \cdot 10^{19} \text{ см}^{-2}) = 0,01 \text{ см}^{-2}$ . Наиболее вероятной причиной роста  $^{89}R(\Phi = 2 \cdot 10^{19} \text{ см}^{-2})$  в области низких температур, по-видимому,

является появление дополнительного флуктуационного дипольного вклада в процесс спин-решеточной релаксации, за счет происходящего магнитного упорядочения среди локализованных моментов, возникающих при разупорядочении в плоскостях  $\text{CuO}_2$ . Наиболее рельефно его влияние проявилось в образце с максимальным значением  $\Phi$ , где в области температур вплоть до комнатных наблюдается существенно неэкспоненциальный процесс спин-решеточной релаксации, затрудняющий анализ.

#### 4. Антиферромагнитное упорядочение локализованных магнитных моментов в плоскостях $\text{CuO}_2$

Как широко обсуждалось в [26] аномальный рост ширины линии ЯМР  $^{89}\text{Y}$  является одним из самых чувствительных тестов наличия антиферромагнитного упорядочения в плоскостях  $\text{CuO}_2$ . Причиной роста ширины линии ЯМР иттрия являются статические дипольные поля  $h_{\text{дип}} = \sum_i m_i / r_i^3$ , создаваемые магнитными моментами окружения в месте нахождения резонансного ядра. Значения этих полей достигают сотен эрстед. На рис. 8 приведены температурные зависимости ширины линии ЯМР  $^{89}\text{Y}$  для сильно облученных образцов  $\text{YBa}_2\text{Cu}_3\text{O}_{6.9}$  с  $\Phi \geq 2 \cdot 10^{19} \text{ см}^{-2}$ . Как видно из рисунка, температура, при которой начинается процесс упорядочения, возрастает с увеличением потока  $\Phi$ . Следует отметить, что область магнитного перехода сильно растянута, что, по-видимому, обусловлено созданным структурным беспорядком. Полностью переход можно считать завершенным лишь в образце с макси-

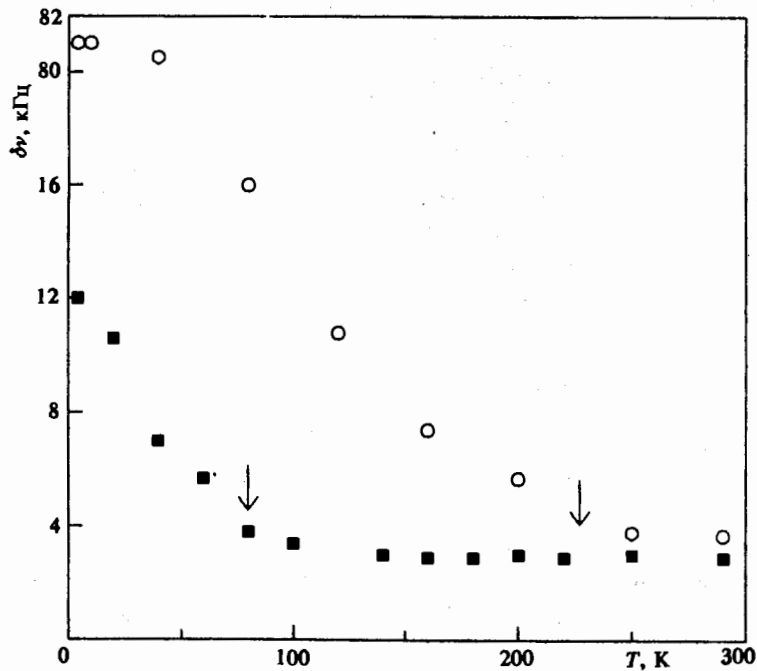


Рис. 8. Поведение в зависимости от температуры ширины линии ЯМР  $^{89}\text{Y}$  в соединении  $\text{YBa}_2\text{Cu}_3\text{O}_{6.9}$  при различных значениях потока быстрых нейтронов: ■ —  $\Phi = 2 \cdot 10^{19} \text{ см}^{-2}$ ; ○ —  $5 \cdot 10^{19} \text{ см}^{-2}$ . Стрелки указывают температуру начала магнитного упорядочения

мальным  $\Phi$  при температурах ниже 40 К, где ширина линии ЯМР иттрия имеет постоянное значение  $\delta\nu \approx 85(5)$  кГц. Приведенные данные можно считать одним из прямых свидетельств наличия антиферромагнитного ближнего порядка локализованных магнитных моментов в плоскостях  $\text{CuO}_2$ , возникающих при радиационном разупорядочении  $\text{YBa}_2\text{Cu}_3\text{O}_{6.9}$ . Естественно, что наше рассмотрение не позволяет судить о характере упорядочения в смысле наличия или отсутствия дальнего порядка. Возможно, что в данном случае происходит упорядочение типа спинового стекла.

### 5. Заключение

В результате анализа данных по сдвигам ЯМР  $^{63}\text{Cu}$ ,  $^{89}\text{Y}$  можно утверждать, что при радиационном разупорядочении  $\text{YBa}_2\text{Cu}_3\text{O}_{6.9}$  происходит уменьшение однородной спиновой восприимчивости, завершающееся образованием щели вблизи энергии Ферми для несверхпроводящих образцов с потоком быстрых нейтронов  $\Phi > 2 \cdot 10^{19} \text{ см}^{-2}$ . Возможно, что, таким образом, мы наблюдаем формирование так называемой кулоновской щели [15, 16].

Рост скорости спин-решеточной релаксации  $^{89}\text{Y}$  при облучении, по-видимому, свидетельствует в пользу появления локализационных эффектов в радиационно разупорядоченном соединении  $\text{YBa}_2\text{Cu}_3\text{O}_{6.9}$ . Экспериментальное наблюдение максимума нормированного фактора усиления является прямым подтверждением локализационного перехода в рассматриваемой системе.

Образующиеся при радиационном разупорядочении локализованные магнитные моменты для  $\Phi > 2 \cdot 10^{19} \text{ см}^{-2}$  испытывают при низких температурах упорядочение с антиферромагнитным ближним порядком, температура начала которого увеличивается с ростом  $\Phi$ .

Авторы признательны Б.Н. Гошицкому и А.В. Мирмельштейну за постоянное внимание к работе и плодотворное для авторов обсуждение полученных результатов. Данная работа поддерживается Научным Советом по ВТСП и выполнена в рамках проекта 90-135 Государственной программы исследований по сверхпроводимости.

## ПРИЛОЖЕНИЕ

### ЯМР релаксация и локализация

Измерение времени ЯМР релаксации  $T_1$  относится к числу экспериментов, в которых можно получить явные свидетельства о локализации электронов в неупорядоченных системах (переход Андерсона). Этот факт уже довольно давно был отмечен Уорреном [23], который применил эту методику к изучению перехода металл—диэлектрик в расплавах полупроводников. Качественное рассмотрение Уоррена было подтверждено в работе Гетце и Каттерле [27], основанной на самосогласованной теории локализации. Основной вывод работ [23, 27] сводился к демонстрации роста обратного времени релаксации  $T_1^{-1}$  в металлической области при приближении системы

к переходу Андерсона (по сравнению с обычной частотой релаксации Корринга в металле [22]). В дополнение к результатам [22, 23, 27] ниже будет показано, что на диэлектрической стороне перехода Андерсона происходит убывание  $T_1^{-1}$  с уменьшением радиуса локализации электронов (ростом беспорядка). Таким образом, переход Андерсона сопровождается максимумом  $T_1^{-1}$ , что может использоваться как экспериментальное свидетельство в пользу реализации локализационного перехода металл—диэлектрик. Последующее изложение основано на неопубликованных ранее результатах Садовского [8], полученных совместно с Л.Н. Булаевским. В большинстве выражений далее полагается  $\hbar = 1$ .

В системах со свободными электронами основным механизмом, осуществляющим связь между электронами и ядерными спинами, является контактное взаимодействие Ферми, приводящее к следующему выражению для  $T_1^{-1}$  [22]:

$$\frac{1}{T_1} = 2A^2 \frac{T}{g_e^2 \mu_B^2 \omega_N} \int \frac{d^3 q}{(2\pi)^3} \text{Im} \chi(q, \omega_N), \quad (\text{П.1})$$

где

$$\begin{aligned} \chi(q, \omega_N) = g_e^2 \mu_B^2 & \left\langle \sum_{pp'} \sum_{\nu\nu'} \varphi_{\nu\uparrow}(p_+) \varphi_{\nu'\uparrow}(p'_+) \varphi_{\nu\downarrow}(p'_-) \varphi_{\nu'\downarrow}^*(p'_-) \times \right. \\ & \times \left. \frac{f_{\nu'\uparrow} - f_{\nu\downarrow}}{\epsilon_{\nu\downarrow} - \epsilon_{\nu'\uparrow} + \omega_N + i\delta} \right\rangle \end{aligned} \quad (\text{П.2})$$

— электронная восприимчивость на волновом векторе  $q$  и частоте ЯМР  $\omega_N$ . Здесь  $A$  — обычная константа сверхтонкого взаимодействия,  $g_e$  — электронное гиромагнитное отношение,  $\mu_B$  — электронный магнетон Бора,  $T$  — температура,  $p_{\pm} = p \pm (1/2)q$ . Выражение (П.2) записано в представлении точных волновых функций  $\varphi_{\nu}(r)$  электрона в случайном поле неупорядоченной системы,  $\epsilon_{\nu}$  — соответствующие точные собственные значения энергии. Угловые скобки обозначают усреднение по случайным конфигурациям, а стрелки — направление электронного спина.

Используя неравенство  $\omega_N \ll \omega_e \ll T$  (где  $\omega_e$  — электронная зеемановская частота), непосредственными вычислениями получаем

$$\begin{aligned} \frac{1}{T_1} = 2A^2 T N(E_F) \pi \int \frac{d^3 q}{(2\pi)^3} \langle\langle \rho_E \rho_{E_F + \omega_e} \rangle\rangle_q = \\ = 2A^2 T \int \frac{d^3 q}{(2\pi)^3} \text{Im} \Phi_{E_F}^{RA}(q, \omega_e), \end{aligned} \quad (\text{П.3})$$

где  $N(E_F)$  — плотность электронных состояний на уровне Ферми и введен фурье-образ спектральной плотности Березинского—Горькова [29]:

$$\begin{aligned} \langle\langle \rho_E(r) \rho_{E+\omega}(r') \rangle\rangle = \frac{1}{N(E)} \langle \sum_{\nu\nu'} \varphi_{\nu}(r) \varphi_{\nu'}(r) \varphi_{\nu'}^*(r') \varphi_{\nu}(r') \delta(E - \epsilon_{\nu}) \times \\ \times \delta(E + \omega - \epsilon_{\nu'}) \rangle \rangle. \end{aligned} \quad (\text{П.4})$$

При получении второго выражения в (П.3) мы воспользовались связью [30] этой спектральной плотности с усредненной двухчастичной функцией Грина  $\Phi_{E_F}^{RA}(q, \omega)$  электрона в неупорядоченной системе [31, 32]. Для дальнейших вычислений нужно принять конкретную модель перехода Андерсона, в качестве которой мы используем самосогласованную теорию локализации в форме, предложенной Фоллхардом и Вольфле [31, 32]. Тогда

$$\Phi_{E_F}^{RA}(q, \omega) = -\frac{N(E_F)}{\omega + iD_{E_F}(\omega)q^2}, \quad (\text{П.5})$$

где  $D_{E_F}(\omega)$  — обобщенный коэффициент диффузии:

$$D_{E_F}(\omega) = i \frac{2E_F}{3} \frac{1}{M_{E_F}(\omega)}, \quad (\text{П.6})$$

а “релаксационное ядро”  $M_{E_F}(\omega)$  определяется известным уравнением само-согласования [31, 32], решение которого имеет вид

$$M_{E_F}(\omega) = \begin{cases} \frac{i}{\tau_{E_F}}, & E_F \geq E_c \quad (\text{металл}), \\ \frac{i}{\tau_{E_F}} - \frac{\omega_0^2(E_F)}{\omega}, & E_F < E_c \quad (\text{диэлектрик}). \end{cases} \quad (\text{П.7})$$

Здесь  $\tau_{E_F}$  — играет роль обобщенного времени свободного пробега, а характерная частота  $\omega_0(E_F)$  связана с радиусом локализации в диэлектрике Андерсона:

$$R_{loc}(E_F) = \frac{v_F}{\sqrt{3}\omega_0(E_F)}, \quad (\text{П.8})$$

где  $v_F$  — скорость Ферми,  $E_c$  — порог подвижности, разделяющий локализованные и делокализованные состояния на энергетической оси. Отсюда не трудно получить [32, 33]:

$$\langle\langle \rho_{E_F} \rho_{E_F + \omega} \rangle\rangle_q = \\ = \begin{cases} \frac{1}{\pi} \frac{D_{E_F} q^2}{\omega^2 + (D_{E_F} q^2)^2}, & E_F \geq E_c \\ A_{E_F}(q)\delta(\omega) + \frac{1}{\pi} \frac{D_{E_F} q^2}{\omega^2 + [\omega_0^2(E_F)\tau_{E_F} + D_{E_F} q^2]}, & E_F < E_c \end{cases}, \quad (\text{П.9})$$

где

$$A_{E_F}(q) = [1 + R_{loc}(E_F)q^2]^{-1}, \quad D_{E_F} = \frac{1}{3} v_F^2 \tau_E,$$

$D_{E_F}$  — перенормированный коэффициент диффузии.

Выражения (П.7), (П.9) справедливы для

$$\omega \ll \omega_c = \gamma [p_F \xi_{loc}(E_F)]^{-3},$$

где  $\gamma$  — “друдевская” частота рассеяния электронов на беспорядке,  $\xi_{loc}(E_F)$  — локализационная длина корреляций [31, 32], совпадающая при  $E_F < E_c$  (диэлектрик Андерсона) с  $R_{loc}(E_F)$ ,  $p_F$  — импульс Ферми. В точке перехода Андерсона ( $E_F = E_c$ )  $\xi_{loc}(E_F)$  расходятся, демонстрируя критическое поведение [31, 32]. При  $\omega_c \leq \omega \leq \gamma$  (в том числе и на самом пороге подвижности, когда  $\omega_c = 0$ ) обобщенный коэффициент диффузии определяется известным законом Гетце [31, 34]:

$$D_{E_F}(\omega) = D_0^{E_F} \left( -\frac{i\omega}{2\gamma} \right)^{1/3}, \quad (\text{П.10})$$

где  $D_0^{E_F}$  — “друдевский” коэффициент диффузии.

Характерная частота  $\omega_c$ , фактически, определяется условием  $D_{E_F}(\omega_c) \sim D_{E_F}$ . В этой области частот, вместо (П.9) имеем

$$\langle\langle \rho_{E_F} \rho_{E_F + \omega_c} \rangle\rangle_q = \frac{\sqrt{3}}{2\pi} \frac{\alpha^{2/3} \omega_c^{1/3} q^2}{\omega^2 + \alpha^{2/3} \omega^{4/3} q^2 + \alpha^{4/3} \omega^{2/3} q^4}, \quad (\text{П.11})$$

где ввели  $\alpha = D_0^{E_F} v_F / 2\gamma$ .

Используя (П.9) и (П.3), нетрудно вычислить  $T_1^{-1}$ . При этом нужно ввести обрезание интеграла по  $q$  на импульсах порядка обратной длины пробега  $l^{-1} \sim \gamma/v_F$ , поскольку приведенные выше “диффузионные” выражения справедливы только в этой области импульсного пространства. Вблизи порога подвижности (перехода Андерсона) имеем  $l^{-1} \sim p_F$ . После прямых вычислений, для металлической области ( $E_F > E_c$ ) получаем

$$\frac{1}{T_1} \approx \frac{1}{T_1^K} \begin{cases} 1 + \frac{1}{p_F l} \frac{\sigma_F}{\sigma} - \sqrt{\frac{\pi}{2}} \left( \frac{\omega_e}{E_F} \right)^{1/2} \left( \frac{\sigma_c}{\sigma} \right)^{3/2}, & \sigma > \sigma_c \left( \frac{\omega_e}{\gamma} \right)^{1/3}, \\ \frac{1}{(p_F l)^2} \left( \frac{\omega_e}{2\gamma} \right)^{-1/3}, & \sigma \leq \sigma_c \left( \frac{\omega_e}{\gamma} \right)^{1/3}, \end{cases}, \quad (\text{П.12})$$

$$\frac{1}{T_1} \approx \frac{1}{T_1^K} \begin{cases} 1 + \frac{\pi}{3} \frac{\sigma_c^2}{\sigma(\sigma + \sigma_c)}, & \sigma > \sigma_c \left( \frac{\omega_e}{E_F} \right)^{1/3}, \\ \left( \frac{E_F}{\omega_e} \right)^{1/3}, & \sigma \leq \sigma_c \left( \frac{\omega_e}{E_F} \right)^{1/3}, \end{cases}, \quad (\text{П.12})$$

где  $T_1^K$  — время релаксации Корринги [22], определяющее релаксацию ядерных спинов в “хорошем” металле:

$$\frac{1}{T_1^K} = 2A^2 T \pi [N(E_F)]^2. \quad (\text{П.13})$$

Характерная проводимость

$$\sigma_c = e^2 p_F / \pi^3 h^2$$

по порядку величины совпадает с моттовской оценкой минимальной металлической проводимости [24]. При переходе к второму выражению в (П.12) мы воспользовались соотношением [35]

$$p_F l = \frac{3}{\pi} \frac{\sigma + \sigma_c}{\sigma_c}$$

и выразили ответ через наблюдаемую величину — проводимость  $\sigma$ . Кроме того, в последнем выражении мы пренебрегли членами  $\sim (\omega_e/E_F)^{1/2}$ , которые малы практически в любой реальной ситуации. Единица в правой части (П.12) приписана из соображений соответствия с обычными результатами в "чистом" пределе, когда  $\sigma \gg \sigma_c$  ( $p_F l \gg 1$ ). Непосредственный переход к чистому пределу в интеграле по  $q$  в (П.3) при использовании (П.9), (П.11) справедливых для "грязного" случая, невозможен. Соответственно выражение (П.12) должно рассматриваться как интерполяционная формула. Первое выражение в (П.12) практически совпадает с соответствующими выражениями работы [27], однако здесь оно приведено к виду более удобному для сравнения с экспериментом.

Из (П.12) видно, что при переходе Андерсона ( $\sigma \leq \sigma_c$ ) должно наблюдаться существенное возрастание частоты ЯМР релаксации  $T_1^{-1}$ , по сравнению с частотой релаксации Корнинга. Кроме того, в узкой области вблизи перехода возникает зависимость  $T_1$  от  $\omega_e$ , т.е. от внешнего магнитного поля. К сожалению, эта зависимость возникает лишь при  $\sigma \leq \sigma_c (E_F/\omega_e)^{-1/3} \ll \sigma_c$ , т.е. в очень узкой окрестности перехода и экспериментальное наблюдение  $\omega_e^{-1/3}$ -зависимости частоты ЯМР релаксации представляется крайне затруднительным, даже для систем с малыми значениями энергии Ферми  $E_F$ , типа легированных полупроводников. В этой области, очевидно, становится существенной роль температурной зависимости проводимости, которой всюду пренебрегалось (выше  $\sigma$  — остаточная проводимость системы, получающаяся экстраполяцией к  $T = 0$ ). Возрастание же частоты релаксации  $T_1^{-1}$  с уменьшением проводимости (ростом беспорядка) должно наблюдаться в достаточно широкой области, от проводимости порядка известного предела Иоффе—Регеля [24]:  $\sigma \sim 10^3 \text{ Ом}^{-1} \cdot \text{см}^{-1}$ . Именно такое поведение наблюдалось в экспериментах Уоррена [22] на жидких полупроводниках, выше оно продемонстрировано для ЯМР  $^{89}\text{Y}$  в радиационно-разупорядоченном  $\text{YBa}_2\text{Cu}_3\text{O}_{6.9}$ .

В области локализации ( $E_F < E_c$ ) вычисления, аналогичные использовавшимся при выводе (П.12), дают:

$$\begin{aligned} \frac{1}{T_1} &\approx \\ &\approx \frac{1}{T_1^K} \left\{ \frac{1}{(p_F l)^2} \left( \frac{\omega_e}{\gamma} \right)^{-1/3} \right\}^{1/3} && \approx \left( \frac{E_F}{\omega_e} \right)^{1/3}, \quad R_{loc}(E_F) \geq [N(E_F)\omega_e]^{-1/3}, \\ &\quad \frac{1}{p_F R_{loc}(E_F)} && R_{loc}(E_F) \leq [N(E_F)\omega_e]^{-1/3}. \end{aligned} \quad (\text{П.14})$$

Очевидно, что зависимость, пропорциональная  $\omega_e^{-1/3}$ , и здесь справедлива лишь в очень узкой области вблизи перехода, когда радиус локализации  $R_{loc}(E_F)$  очень велик. По мере того, как уровень Ферми  $E_F$  движется в глубь области локализации (или с ростом беспорядка)  $R_{loc}(E_F)$  уменьшается, так что частота релаксации  $T_1^{-1}$  убывает вместе с параметром  $p_F R_{loc}$ . Второе выражение в (П.14) справедливо для  $p_F R_{loc} \sim 1$ , когда  $T_1^{-1}$  “возвращается” к значениям порядка частоты Корринги. Для меньших значений  $R_{loc}$  нельзя пользоваться приближениями, основанными на теории самосогласованной локализации, в которой  $R_{loc}$  не может стать меньше  $\sim p_F^{-1}$ . Таким образом, отношение  $T_1^K/T_1$  проходит через максимум, когда уровень Ферми пересекает порог подвижности. Экспериментальное наблюдение такого максимума может, по нашему мнению, служить важным независимым свидетельством в пользу реализации в данной системе перехода Андерсона. По-видимому, именно такое поведение и наблюдалось в описанных выше экспериментах по ЯМР релаксации  $^{89}\text{Y}$  в разупорядоченном  $\text{YBa}_2\text{Cu}_3\text{O}_{6.9}$ . Естественно, что требуется еще проведение аналогичных измерений на более “частом” (по степени разупорядочения) наборе образцов, что позволило бы более детально исследовать окрестность максимума и более точно определить его положение.

Физический смысл полученных результатов довольно прост: ЯМР релаксация идет за счет переворота ядерного спина пролетающим мимо ядра электроном, который переворачивает свой спин. По мере приближения системы к переходу Андерсона электроны проводимости все более медленно диффундируют в окрестности данного ядерного спина и взаимодействуют с ним в течении все большего времени, что и приводит к росту частоты релаксации  $T_1^{-1}$  [23]. Этот эффект максимальен в точке перехода, однако в дальнейшем, когда электроны остаются локализованными в окрестности данного ядра с размерами порядка  $R_{loc}$ , радиус локализации уменьшается с ростом беспорядка и электрон все менее эффективно “уносит информацию” о ядерном спине, что и ведет к уменьшению  $T_1^{-1}$ .

В приведенном выше рассмотрении пренебрегалось температурной зависимостью проводимости. В качестве параметра  $\sigma$ , имеющего в нашей теоретической модели смысл проводимости при  $T = 0$ , выше при интерпретации эксперимента в металлической области использовалась проводимость системы в области достаточно высоких температур. Точки перехода Андерсона при  $T = 0$  соответствует  $\sigma = 0$ , тогда как в эксперименте (при конечных  $T$ ) наблюдается конечная проводимость. Именно поэтому, а также из-за эффектов отрицательного температурного коэффициента сопротивления в металлической области, обычно очень трудно определить точку перехода по данным проводимости. Измерения ЯМР релаксации дают здесь существенные преимущества. Кроме того, мы полностью пренебрели возможной ролью межэлектронного взаимодействия, которое может привести к усложнению всей картины релаксации, прежде всего в связи с формированием (под действием разупорядочения) локализованных магнитных моментов [7]. Существенно также отметить, что выше мы пренебрегли влиянием на локализацию (переход Андерсона) со стороны внешнего магнитного поля, в котором

проводится ЯМР эксперимент. Это влияние, в принципе, не является малым и приводит к сдвигу перехода Андерсона в область больших степеней разупорядочения. Поэтому, строго говоря, из обсуждаемых экспериментов определяется положение точки андерсоновского перехода во внешнем магнитном поле.

#### Список литературы

1. Dynamics of Magnetic fluctuations in high  $T_c$  materials./Eds. by G. Reiter, P. Horsch, G. Psaltakis. Plenum Press, 1990. Rossat-Mignot, Regnault L.P., Vettier G., Burlet P., Henry J.H., Lapertot G./Proc. LT19. Brighton, 1990. C. 183.
2. Yasuoka H., Imai T., Shimizu T./Sol. St. Eds. H. Fukigama, S. Maekawa, A.P. Malozemoff. Berlin: Springer-Verlag, 1989. V. 89. P. 254.
3. Warren W.W., Walstedt Ir.R., Brennert G.F. et al./Phys. Rev. Lett. 1989. V. 62. P. 1865.
4. Takigawa M., Hammel P.E., Heffner R.H. et al./Phys. Rev. B. 1989. V. 39. P. 300, 1865; 1991. V. 43. P. 247.
5. Alloul H., Ohno T., Mendels Ph./J. Less-Common Metals. 1990. V. 165. P. 1022.
6. Гощицкий Б.Н., Воронин В.И., Давыдов С.А., Карыкин А.Е., Мирмельштейн А.В./Труды международного совещания "Эффекты сильного разупорядочения в ВТСП" Заречный: изд. Гиперокс 1990, С. 14.
7. Алексашин Б.А., Воронин В.И., Верховский С.В. и др./ЖЭТФ. 1989. Т. 95. С. 678.
8. Davydov S.A., Goshchitskii B.N., Mirmelstein A.V./Physica C. 1989. V. 161. P. 549.
9. Воронин В.И., Карыкин А.Е., Мирмельштейн А.В., Бергер В.Н., Гощицкий Б.Н./СФХТ. 1990. Т. 3. С. 1561.
10. Zhdanov Yu., Aleksashin B.A., Bogdanovich A.M. et al./Physica C. 1990. V. 165. P. 475.
11. Lippmaa H., Joon E., Heinmaa J./Proc. of Int. Sem. on HTSC. Dubna/Eds. by V.L. Aksenov, N.N. Bogolubov, N.M. Plakida. Singapore: World Scientific, 1990. P. 242.
12. Pennington C.H., Durand D.J., Slichter C.P./Phys. Rev. B. 1990. V. 41. P. 751.
13. Mila F., Rice T.M./Physica C. 1989. V. 157. P. 561.
14. Millis A.J., Monien H., Pines D./Phys. Rev. B. 1990. V. 42. P. 167. Monien H., Pines D., Takigawa M./Phys. Rev. B. 1990. V. 43. P. 258. Monien H., Pines D., Slichter C.P./Phys. Rev. B. 1990. V. 41. P. 1120.
15. Altshuler B.L., Aronov A.G./Electron-electron interactions in disordered systems./Ed. by A.L. Efros, M. Pollak. Elsevier Science Publishers. 1985. P. 1.
16. Efros A.L., Shklovskii B.I./Electron-electron interactions in disordered systems/Ed. by A.L. Efros, M. Pollak. Elsevier Science Publishers. 1985. P. 409.
17. Абрагам А. Ядерный магнетизм. М.: ИЛ, 1962.
18. Alloul H., Ohno T., Casalta H. et al./Physica C. 1990. V. 171. P. 419.
19. Berrett S.E., Durand D.J., Pennington C.H. et al./Phys. Rev. B. 1990. V. 41. P. 6283.
20. Podlesnjak A.A., Kozhevnikov V.L., Mirmelstein A.V., Allenspach P., Mesot J., Staub U., Furrer A./Physica C. 1991. V. 185 — 189. P. 817.
21. Ohno T., Mizuno K., Kanashiro T., Alloul H./Physica C. 1991. V. 185 — 189. P. 1067.
22. Нарим А./Сверхтонкие взаимодействия в твердых телах./Пер. под ред. Е.А. Турова. М.: Мир, 1970. С. 163.
23. Warren Ir.W.W./Phys. Rev. B. 1971. V. 3. P. 3708.
24. Momm H. Переходы металл—изолятор. М.: Наука, 1979.
25. Verkhovskii S.V., Zhdanov Yu.I., Bogdanovitch A.M. et al./Appl. Magn. Resonance. 1992. V. 3. P. 649.
26. Mendels P., Labouze H., Collin G., Alloul H./Physica C. 1991. V. 185 — 189. P. 1191.
27. Gotze W., Ketterlie W./Z. Physik B. 1983. V. 54. P. 49.
28. Садовский М.В. Автореферат диссертации на соискание ученой степени доктора физ.-мат. наук. М.: ФИАН, 1985.
29. Березинский В.Л., Горьков Л.В./ЖЭТФ. 1979. Т. 77. С. 2498.
30. Садовский М.В./ЖЭТФ. 1982. Т. 83. С. 1418.
31. Wolffe P., Vollhardt D. Anderson Localization./Ed. by Y. Nagaoka, H. Fukuyama. Berlin—N.Y.: Springer-Verlag, 1982. P. 26.
32. Sadovskii M.V. Sov. Scientific Rev. Phys. Rev./Ed. by I.M. Khalatnikov. N.-Y.: Harwood Academic Publ. 1985. V. 7. P. 1.
33. Кацнерльсон М.И., Садовский М.В./ЖЭТФ. 1984. Т. 87. С. 523.

Институт физики металлов  
Уральского отделения  
Российской академии наук

Поступила в редакцию  
2.11.92;  
после переработки  
5.01.93

*Yu.I. Zhdanov, A.M. Bogdanovich, B.A. Aleksashin, K.N. Mikhalev,  
V.V. Lavrent'ev, S.V. Verkhovskii, V.V. Serikov, M.V. Sadovskii*

**VARIATIONS IN THE  $\text{YBa}_2\text{Cu}_3\text{O}_{6.9}$  ELECTRON SPECTRUM  
WITH RADIATIVE DISORDERING: NMR  $^{89}\text{Y}$  AND  $^{63}\text{Cu}$  DATA**

In  $\text{YBa}_2\text{Cu}_3\text{O}_{6.9}$  compound exposed by radiative disordering with fast neutrons of flux  $\phi = 0 - 5 \cdot 10^{19} \text{ cm}^{-2}$  the components of shift  $^{89}\text{Y}$  and  $^{63}\text{Cu}$  NMR tensor and the nuclear  $^{69}\text{Y}$  spin-lattice relaxation rate are measured in order to obtain the estimates for changing the spin contribution  $\chi_s(q = 0)$  into the magnetic susceptibility during producing the structural disorder. The results obtained demonstrate a drastic reduction of the density of states near the Fermi energy, resulting in the formation of the Coulomb gap at the Fermi level for nonsuperconducting samples. NMR  $^{89}\text{Y}$  data give an evidence for the appearance of an antiferromagnetic order among localized magnetic moments arising in  $\text{CuO}_2$  planes with irradiation at low temperatures. The features of nuclear  $^{69}\text{Y}$  spin-lattice relaxation in the region of metallic conduction are discussed exhibiting the metal-insulator Anderson transition in the system concerned and verifying the corresponding theoretical considerations.